

## محاسبه جابه‌جایی زمین ناشی از زمین‌لرزه با استفاده از تداخل‌سنگی راداری، ماهواره ۱ Sentinel (مطالعه موردی: شهر ترکمانچای)

علی پورمحمد<sup>۱</sup>، مریم بیاتی خطیبی<sup>۲</sup>

<sup>۱</sup> دانش آموخته سنجش از دور، دانشکده برنامه ریزی و علوم محیطی، دانشگاه تبریز؛ pormohamadiali7@gmail.com

<sup>۲</sup> استاد ژئومورفولوژی گروه سنجش از دور دانشکده برنامه ریزی و علوم محیطی، دانشگاه تبریز؛ m\_bayati@tabrizu.ac.ir

نوع مقاله: علمی پژوهشی

صفحه ۵۹ تا ۷۲

تاریخ پذیرش: ۱۴۰۴/۰۶/۳۰

تاریخ دریافت: ۱۴۰۳/۱۰/۹

### چکیده

زمین‌لرزه فاجعه طبیعی و کشنده است که موجب مرگ و زخمی شدن بسیاری از افراد/۹۰۳/۰۴/۱۴۰۴ و امواج سونامی می‌شود. اگرچه یکی از رایج‌ترین پدیده‌های طبیعی است اما توسط بسیاری از مردم به عنوان ترسناک‌ترین و خطرناک‌ترین مخاطره در نظر گرفته می‌شود. در حال حاضر با پیشرفت علم سنجش از دور، تداخل‌سنگی راداری به عنوان روشهای کارآمد و نسبتاً دقیق در اندازه‌گیری جابه‌جایی سطح زمین است که می‌تواند جابه‌جایی‌های بسیار جزئی را هم سنجش نماید. منطقه شمال غرب کشور از محدوده‌های بسیار حساس از نظر فعالیت‌های تکتونیکی و زمین‌لرزه‌ها است. در این مقاله شهر ترکمانچای و موقع زمین‌لرزه ۱۷ آبان سال ۱۳۹۸ برای بررسی در نظر گرفته شده است. در واقع هدف از این تحقیق برآورده میزان بالاً‌آمدگی و فروافتادگی سطح زمین ناشی از زمین‌لرزه در شهر ترکمنچای است. به منظور برآورده میزان جابه‌جایی ناشی از زمین‌لرزه در شهر مذکور، از روش تداخل‌سنگی راداری (InSAR) و از داده‌های تصاویر پایین رو و برای پردازش داده‌ها از نرم‌افزار SNAP استفاده شده است. با عنایت به این که، فن تداخل‌سنگی راداری اجازه می‌دهند جابه‌جایی‌های عمودی سطح زمین در حد میلی‌متر تشخیص داده شود. در این راستا تصاویر ماقبل و ما بعد زمین‌لرزه، از داده‌های سنتینل-۱ مرتبط با منطقه انتخاب و به کار گرفته شده‌اند. و خروجی‌های مورد نظر به صورت اشکال و نمودار ارائه شده است. نتایج تحقیق نشان داد که میزان جابه‌جایی سطح زمین  $\frac{7}{3}$ -سانتی‌متر در محدوده شهر ترکمانچای بوده است. که در ابعاد محیطی و تغییر در تعادل منطقه‌ای رقم قابل توجهی است.

وازگان کلیدی: Sentinel 1A .InSAR .Displacement .Tداخل‌سنگی، زمین‌لرزه، ترکمانچای

<sup>۱</sup> دانش آموخته سنجش از دور، دانشکده برنامه ریزی و علوم محیطی، دانشگاه تبریز pormohamadiali7@gmail.com

<sup>۲</sup> استاد ژئومورفولوژی گروه سنجش از دور دانشکده برنامه ریزی و علوم محیطی، دانشگاه تبریز (نویسنده مسئول) m\_bayati@tabrizu.ac.ir

## مقدمه

محاسبه تغییرات محسوب شود(جانباز فوتیمی و همکاران، ۱۳۹۹). پدیده جابجایی عمودی زمین به دلیل عوامل گوناگونی از جمله عوامل طبیعی، مانند زمین لرزه، آتشفسان، فعالیت گسلی، فرونشست ناشی از بالا آمدن سطح دریا، انحلال در سنگ، اکسایش، فشردگی رسوبات آلی، توسعه چاله در زمین‌های کارستی و یا ناشی از فعالیت‌های انسانی (ژی یوآن، ۲۰۱۶) شامل برداشت بی‌رویه سیالات از زمین نظیر آب، نفت و گاز(اچ. گو و دیگران، ۲۰۱۵)، معدن‌کاری مثل اسخراج زغال سنگ و طلا، گوگرد و مواد جامد دیگر، همچنین ساخت و سازهای زیرزمینی و افزایش بار بر اثر ساخت زیاد رخ می‌دهد. براساس برآورده کارشناسان بیش از ۱۵۰ شهر از شهرهای بزرگ دنیا با گسترهای از کشورهای توسعه یافته تا در حال توسعه، در معرض وقوع این پدیده هستند(شیریفی کیا و همکاران ۱۳۹۰، یمانی و همکاران ۱۳۸۸). در محور بررسی جابجایی سطح زمین مطالعات زیادی در سطح جهان و ایران انجام شده است، که می‌توان از آن به تحقیقات مدیرزاده و اصغری سراسکانرود (۱۴۰۱) اشاره کرد که میزان جابجایی زمین بعد از زمین لرزه تیرماه ۱۳۹۹ شهر قطور را با استفاده از تکنیک تداخل‌سنگی راداری، حدود ۸ میلی‌متر در ماه، در راستای خط دید ماهواره برآورد کردند. کل‌میشی و همکاران (۱۴۰۱) میزان جابجایی زمین (فرونشست) بعد از زمین لرزه شهر دهلران ۲۸ اسفند ۱۳۹۸ را با استفاده از تکنیک تداخل‌سنگی را به میزان ۷ سانتی‌متر برآورد کردند. ملکی و همکاران (۱۴۰۲) میزان این جابجایی را بعد از زمین لرزه ۲۱ آبان ۱۳۹۶ کرمانشاه با استفاده از تکنیک تداخل‌سنگی به میزان ۳۳/۱۲۶۵ در قسمت‌های شرق، جنوب و غرب ثلث باباجانی و قسمت‌های غربی و جنوبی شهرستان و همچنین به میزان ۱۶/۳۰۴ سانتی‌متر به صورت نوار باریکی در شمال و جنوب شهرستان سرپل ذهاب برآورد کردند. نصیری و همکاران برای زمین لرزه ۲۹ بهمن ۱۳۹۹ منطقه سی‌سخت، جابجایی زمین را در سطح دشت مورد بررسی قرار دادند و نتایج نشان داد حدود ۹ سانتی‌متر نشست رخ داده که بیشتر بخش مرکزی

قاره‌گرفتن فلات ایران بر روی کمریند لرزه‌خیز کره زمین و وجود گسل‌های متعدد، وقوع زمین‌لرزه‌های متعدد در ایران را به امری طبیعی تبدیل کرده است. ایران ششمین کشور لرزه‌خیز دنیاست. به علت فعالیت‌های تکتونیکی مستمر در فلات ایران در هر لحظه می‌توان شاهد وقوع لرزه‌های متعدد بود که اغلب این زمین لرزه‌ها به علت کم ریشتی قابل احساس نیستند. جابجایی‌های عمودی زمین به هر علتی بحران های محیطی متعددی را در پی خواهد داشت که در بیشتر موارد در کوتاه مدت غیر قابل برگشت است. با توجه به گزارشات رسیده این جابجایی‌ها در دو دهه اخیر در بیشتر قسمت‌های ایران رخداده و به یکی از مهمترین عوامل تهدید کننده تبدیل شده است. گاه این جابجایی‌ها در اثر حرکات تکتونیکی و در موارد دیگر، به علت پایین رفتن سطح آب‌های زیرزمینی بوده است. منطقه شمال غرب ایران از جمله حساس‌ترین محدوده‌های ایران از نظر فعالیت‌های تکتونیکی است که در اثر این فعالیت‌ها زمین لرزه‌های متعددی رخ می‌دهد. یکی از این زمین لرزه‌ها، وقوع زمین لرزه‌ای در ۱۷ آبان در منطقه ترکمنچای، واقع در شمال‌غرب ایران است، که به لحاظ دارا بودن نرخ بالای دگرشکلی (مسون و همکاران، ۱۹۸۲) و سابقه لرزه‌خیزی تاریخی (امبرسیز و ملویل ۲۰۰۷)، قابل ملاحظه بوده و با توجه به شواهد متعدد این محدوده یکی از فعال‌ترین مناطق ایران محسوب می‌گردد.

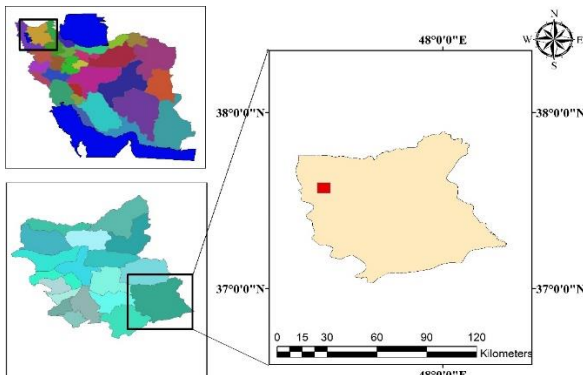
برای مطالعه جابجایی‌های سطح زمین روش‌های مختلفی از طرف محققین به کار گرفته می‌شود، قبل از استفاده روش‌های سنجش از دور، مطالعات فرونشست به مشاهدات میدانی و همچنین مدل‌سازی عددی محدود می‌شوند، اما ویژگی‌های داده‌های ماهواره‌ای، باعث شده تا پژوهشگران از آن‌ها برای اندازه‌گیری نشست زمین استفاده کنند (خرمی، ۱۳۹۶). تصاویر راداری قادر به اندازه‌گیری جابجایی سطح زمین در قدرت تفکیک مکانی و زمانی بالا می‌باشد که می‌تواند به صورت یکی از بهترین روش‌های سنجش از دور برای

متر در منطقه محاسبه کردند. حداد و خراسانی (۱۳۹۷) میزان جابجایی برای دشت سمنان و تکنیک تداخل‌سنگی راداری در بازه زمانی ۱۳۸۲/۰۳/۲۶ تا ۱۳۸۳/۰۸/۲۳ حداکثر جابجایی را ۱۳۳ میلی‌متر در شهر سمنان و پیرامون آن و در تحقیق مذکور با هدف شناسایی عوامل موثر در جابجایی زمین در بخشی از دشت سمنان، نوسانات عمق سطح آب زیر زمینی به همراه ترسیم نمودار هیدروگراف از نتایج ۱۵ چاه مشاهده ای مورد بررسی قرار دادند که نشان دهنده افت ممتد سطح آب در طی دوره های آبی سال‌های ۱۳۸۲ تا ۱۳۸۸ بوده، طوری که نرخ افزایش ژرفای سطح آب زیرزمینی محدوده مطالعاتی برابر ۲۲ سانتی متر در سال است. با توجه به موارد مطالعاتی فوق، هدف از تحقیق حاضر، اندازه‌گیری میزان جابجایی زمین با استفاده تکنیک تداخل‌سنگی راداری و تصاویر سنتیل-۱ برای زمین لرزه ۱۷ آبان ۱۳۹۸ به بزرگی ۵/۹ طی بازه زمانی ۲۰۱۹/۱۱/۲۸ تا ۲۰۱۹/۱۱/۹ می‌باشد. کلودیا تکسیرا و همکاران (۲۰۲۴) با به کارگیری ۱۴۵ تصویر ماهواره سنتیل-۱ بین ژوئن ۲۰۱۹ تا آوریل ۲۰۲۴، با تکنیک رadar دیافراگم Maceió مصنوعی تداخل‌سنگی (QPS-InSAR)، برای بزریل حداکثر جابجایی ۱۷۵۰- میلی‌متر را محاسبه کردند. آلبانو و همکاران (۲۰۲۴) با استفاده از تکنیک تداخل‌سنگی راداری، میزان جابجایی ۲.۱ سانتی‌متر را برای زمین لرزه ۲۰ می ۲۰۱۲ ایتالیا محاسبه کردند. شنگ و همکاران (۲۰۲۳)، با استفاده از ۵۱ تصویر سنتیل-۱ که پکن را برای قبل و بعد از بیماری کویید-۱۹ پوشش میداد، به محاسبه جابجایی زمین با استفاده از تکنیک تداخل‌سنگی راداری پرداختند و نتایج نشان داد که میزان جابجایی از ۵۷- میلی‌متر در سال به ۴۳- میلی‌متر کاهش یافت و علت آن کاهش فعالیتهای انسانی در طول پاندمیک بود.

با توجه به مطالب ارائه شده می‌توان نتیجه گرفت که مسئله جابجایی‌های رخداده در ایران و بخش‌های مختلف سرزمینی جدی بوده و قابل مطالعه مکرر در سال‌های پیش رو است. منطقه شمال غرب ایران نیز

شهرستان را در برگرفته است. نظمفر و شیرزاد (۱۴۰۱) با استفاده از تصاویر سنتیل ۱ و روش تداخل‌سنگی راداری جابجایی زمین بر اثر برداشت آبهای زیرزمینی در بازه زمانی ۲۰۱۹/۰۸ تا ۲۰۲۰/۰۴ در حدود ۹/۳۵ سانتی‌متر محاسبه کردند؛ از نتایج حاصل مشخص شد جهت گسترش نشست از جنوب‌شرق به سمت جنوب‌غرب دشت می‌باشد. در تحقیق روزبان و همکاران (۱۳۹۵) از روش تداخل‌سنگی تفاضلی راداری DInSAR و داده‌های راداری سنجنده جدید سنتیل ۱ میزان جابجایی برای دشت رفسنجان و برای مدت یکسال به میزان حداکثر ۲۸ سانتی‌متر در سال نشان دادند و عامل اصلی جابجایی زمین در جهت عمودی برداشت بی‌رویه آب از سفره‌های آب زیرزمینی دانستند. زینالی و میرحیدری در تحقیق خود میزان جابجایی زمین ناشی از برداشت آبهای زیرزمینی در دشت مرند در طول ۳۴ سال به میزان ۱۶/۵ متر محاسبه و برآورد کردند. راسپینیا و همکاران (۲۰۱۴)، در دلتای شمال یونان، پدیده جابجایی را با استفاده از مدل سازی ژئوتکنیک و همچنین تداخل‌سنگی بررسی کرده و برای بازه زمانی ۶ ساله، مقدار متوسط سالانه فرونشست را ۴/۵ سانتی‌متر بدست آوردند. کاپلی و همکاران (۲۰۲۲) نرخ جابجایی زمین در دهلى‌نو را تکنیک تداخل‌سنگی پراکنده میزان ۰۰ سانتی‌متر در سال برآورد کردند. شمشکی و همکاران در بررسی‌های ترازیابی و داده‌های ماهواره‌ای به شیوه InSAR نرخ جابجایی برای پهنه‌ای با مساحت بیش از ۴۰۰ کیلومتر در جنوب و جنوب غرب تهران را ۳ تا ۱۶ سانتی‌متر در سال برآورد کردند. راهنما و میراثی (۱۳۹۴) میزان جابجایی در روستای شول به ازای ۲۱ متر افت آب به طور متوسط ۱۶/۵ سانتی‌متر تعیین کردند که با فاصله گرفتن از روستا این میزان جابجایی به علت ضخامت آبرفت به حدود ۲۲ سانتی‌متر افزایش یافته است. روستایی و همکاران طبق پردازش تصاویر سنتیل-۱ بین سال‌های ۲۰۱۶ تا ۲۰۲۰، نرخ جابجایی و نشست زمین را برای دشت شبستر - صوفیان را به میزان ۴/۷

مستعد شدن این محدوده برای تحریک پذیری بیشتر این محدوده برای جابجایی‌ها شده است.



شکل ۱. موقعیت منطقه مورد مطالعه (مربع قرمز موقعیت شهر ترکمانچای را نشان می‌دهد)

## مواد و روش‌ها

برای انجام این تحقیق در ابتدا اطلاعات مربوط به موقعیت زمین‌لرزه اخذ شد و سپس دو تصویر راداری بعد و قبل از تاریخ رخداد زمین‌لرزه از سازمان فضایی اروپا (Sentinel-1) گرفته شد. تصاویر تهیه شده دارای حداقل خط مبنا می‌باشد چون هر چه فاصله زمانی بین دو تصویر کمتر باشد، تغییرات جابه‌جایی سطح زمین را بهتر نمایش می‌دهد. اطلاعات مربوط به تصاویر در جدول (۱) ارائه شده است. تصویر قبل از زمین‌لرزه و بعد زمین‌لرزه به ترتیب تصویر پایه و تصویر پیرو می‌نامند. همچنین پردازش‌ها از طریق نرم افزار SNAP انجام شد که مراحل انجام این پژوهش در شکل ۲ ارائه شده است. با عنایت به اینکه سنجنده‌های راداری روش‌های جدیدی برای اندازه‌گیری تغییرات سطح زمین با دقت چند میلی‌متر فراهم کردند (تونگ و همکاران، ۲۰۲۰)، سعی شد در این بررسی، با استفاده از سنجنده راداری Sentinel-1 و بکارگیری تکنیک InSAR اندازه‌گیری تغییرات شکل زمین در مقیاس میلی‌تر در طول زمان محاسبه شود. در مقاله حاضر از روش تداخل‌سنگی راداری برای تعیین تغییر شکل که ابزاری مناسب برای نظارت برای تغییرات توپوگرافی در مناطق بزرگ بوده و قادر به محاسبه تغییرات در مدت زمان طولانی با دقت بالا از چند میلی‌متر تا سانتی‌متر

مستثنی از قاعده نیست. این محدوده هم با جابجایی‌های ناشی از تکتونیک و هم با مساله فرونوسنت‌های ناشی از استحصال بیش از حد آبهای زیرزمینی رویرو ااست. محدوده ترکمنچای از محدوده‌های در معرض جابجایی‌های عمودی است که در این مقاله به آن پرداخت می‌شود.

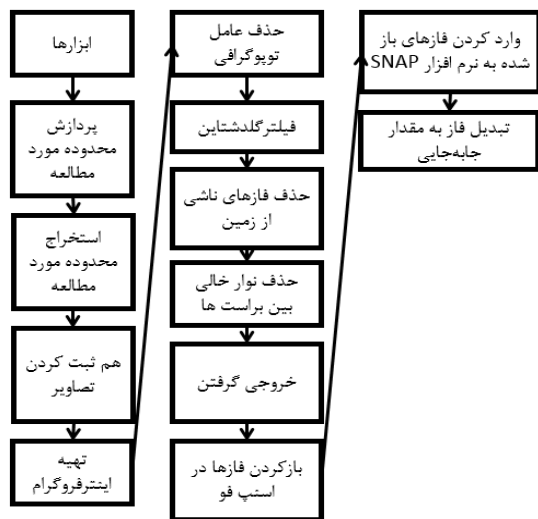
## منطقه مورد مطالعه

شهر ترکمنچای یکی از شهرهای استان آذربایجان شرقی و از توابع شهرستان میانه می‌باشد؛ و در مختصات  $37^{\circ}58'0''E$  و  $37^{\circ}0'0''N$  و  $47^{\circ}39'2''E$  و  $37^{\circ}0'0''N$  شرقی قرار گرفته است. برپایه سرشماری عمومی نفوس و مسکن در سال ۱۳۹۵، جمعیت شهرستان ترکمنچای برابر با  $21,387$  نفر بوده است. شهرستان ترکمنچای از شمال با شهرستان هشتارود، از جنوب‌غربی با شهرستان سراب، از شرق تا جنوب با شهرستان میانه و از شمال‌غربی با شهرستان بستان‌آباد همسایه است؛ در شکل ۱ موقعیت منطقه مورد مطالعه نشان داده شده است.

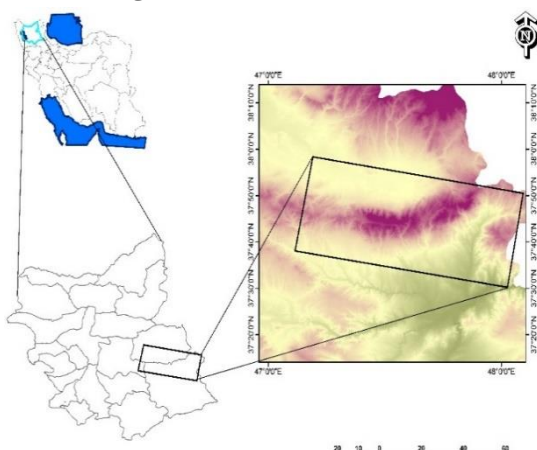
تشکیلات زمین‌شناسی محدوده ترکمنچای محسوب دگرسانی و هوازدگی واحدهای توفی اؤسن بالایی می‌باشد. مطالعات کانی‌شناسی نشان می‌دهند که نمونه‌های بنتونیتی در این ذخیره شامل کانی‌های مونتموریلونیت، کائولینیت و آلبیت هستند که در مقادیر کمتر توسط کانی‌هایی نظیر، سانیدین کریستوبالیت، کلسیت، کوارتر، موسکویت، و نانتررونیت همراهی می‌شوند. محاسبات تغییرات عناصر شاخص نشان می‌دهند که فرایند تبدیل توفهای اؤسن بالایی به بنتونیت در این منطقه با تهی شدگی عناصری نظیر  $Zn$ ,  $Si$ ,  $Al$ ,  $Na$ ,  $K$ ,  $Ba$ ,  $Cu$ ,  $Ga$ ,  $Mg$ ,  $Sc$ ,  $V$ ,  $Y$ ,  $Ti$  و همراه شده است. این در حالی است که سایر عناصر اصلی، فرعی، و جزئی متحمل کمترین جابجایی و تحرک در طی تکوین این ذخیره شده‌اند. این تحقیقات حاکی از این است که تحولات زمین‌شناسی هم باعث

جدول ۱. مشخصات تصاویر راداری مورد استفاده

پلاریزیشن	گذر تصویربرداری	حال تصویربرداری	فرمت تصویر	تاریخ تصویر	شماره
VV	Descending	IW	SLC	۲۰۱۹/۱۰/۲۸	۱
VV	Descending	IW	SLC	۲۰۱۹/۱۱/۰۹	۲



شکل ۲. فلوچارت انجام تداخل‌سنجی راداری



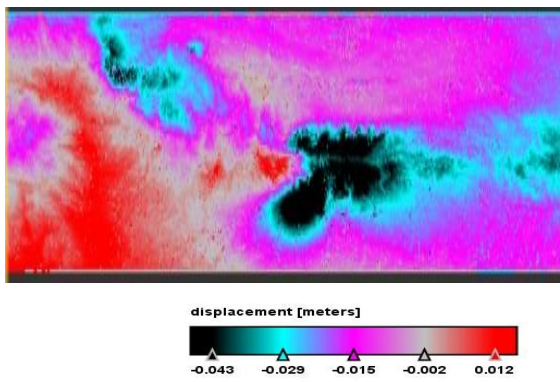
شکل ۳. موقعیت منطقه مورد مطالعه جهت استخراج تصاویر راداری

$$Vert\_Displ = \frac{\phi_{unw} * \lambda}{-4\pi * \cos\theta_{inc}} \quad (1)$$

سیستم‌های راداری خالی از نویز نیستند. هرچه مقدار نویز به سیگنال بیشتر برسد، تصویر بی‌کیفیت‌تر شدند.

است، استفاده شد. در این منطقه در هر کیلومتر مربع از تصاویر Sentinel در باند C برای تعیین تغییر شکل و جابه جایی انباسته شده در یک بازه زمانی در سال ۲۰۱۹ با استفاده از نرم افزار SNAP (که یک نرم افزار قدرتمند بوده و در طیف گسترده‌ای از دریچه مصنوعی SAR) و تکنیک‌های پردازش InSAR چند محتوا را پیاده‌سازی می‌کند، جاکوم و همکاران، (۲۰۲۰) استفاده شد. در شکل ۳ موقعیت محل استخراج تصاویر نشان داده شده است.

اولین قدم از مراحل پردازشی تداخل‌سنجی، انتخاب تصاویر مناسب است که مجموعه تصاویر استفاده شده در تحقیق حاضر در جدول (۱) شرح داده شده است. سپس دو تصویر راداری (SLC)، وارد نرم افزار SNAP شد. در نرم افزار SNAP که برای کار با داده‌های سنتینل طراحی شده است، محدوده مورد نظر از تصاویر اصلی به خاطر تسریع در روند پردازش، تصاویر جدا و تصحیحات مداری بر روی آن‌ها انجام شد. سپس تصاویر با هم Back Geocoding شدند. در ادامه به منظور استفاده از یک آزمیوت و برد ثابت برای کل تصاویر از دستور مربوطه Enhanced Spectral Diversity استفاده شد. بعد از انجام تصحیحات با استفاده از اختلاف فازها با اینترفروگرام منطقه به دست آمد. در مرحله بعد فضاهای خالی بین آن‌ها (تصاویر سنتینل ۱ از IW ۳) تشکیل شده است که هر IW دارای ۹ براست (Tops) بوده و بین برآست‌ها، فضای خالی وجود دارد، Deburst) و سپس عامل توپوگرافی حذف شده است (Topographic phase Removal) افزایش کیفیت تصویر، اینترفروگرام تهییه شده است (Golstein Phase Filtering). پس از انجام مراحل تداخل‌سنجی برای تبدیل اختلاف فازها به جابه جایی قائم از یک نرم افزار واسطه Snapshu Export جهت بازکردن فازها استفاده شده است. بعد از بازکردن فازها بازشده وارد نرم افزار شده و با استفاده از رابطه (۱) اختلاف فاز به جابه جایی قائم در سیستم متريک تبدیل شدند.



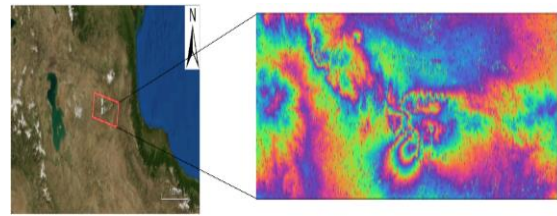
شکل ۶. تصویر جابه‌جایی سطح زمین

## نتایج و بحث

### ۱- بررسی لرزه‌خیزی منطقه:

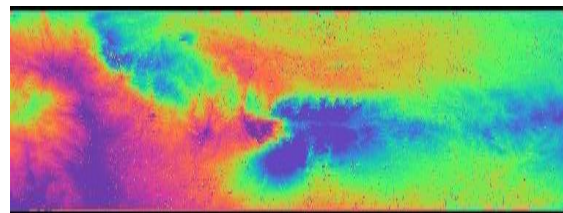
زمین‌لرزه‌ای به بزرگی ۵.۹ ریشتر در ساعت ۲ و ۱۷ دقیقه و ۳ ثانیه بامداد روز جمعه ۱۷ آبان ۱۳۹۸ شهر ترکمانچای را لرزاند که پس از این روزها ادامه داشت، این زمین‌لرزه دگر شکل‌های زیادی در پی داشت. بررسی موقعیت زمین‌لرزه‌های رخ داده در منطقه شمال‌غرب بیانگر این است که این منطقه در طول تاریخ بارها زمین‌لرزه‌های تاریخی بزرگ و مخربی را تجربه کرده است. مرکز زمین‌لرزه‌های تاریخی در امتداد گسلی که از شمال کلان شهر تبریز عبور می‌کند، گویای جنبایی چشمگیر و قابل توجه این گسل در طول تاریخ می‌باشد. زمین‌لرزه اخیر ترکمانچای در منتهی شرقی این گسل واقع می‌شود. برخلاف لرزه‌خیزی تاریخی که فراوانی قابل توجهی در منطقه دارد، لرزه‌خیزی دستگاهی صدسال اخیر چندان باز نمی‌باشد. در واقع، علی‌رغم نرخ بالای تغییر شکل پوسته بر پایه اندازه‌گیری‌های GPS، لرزه‌خیزی قابل انتظاری که با رخداد زمین‌لرزه‌های بزرگ همراه باشد به چشم نمی‌خورد. نگاهی به نقشه لرزه‌خیزی دستگاهی ۱۹۲۰ تا ۲۰۱۹ میلادی به خوبی حکایت از نرخ پایین لرزه‌خیزی و انرژی کم لرزه‌ای آزاد شده در طی صد سال اخیر دارد. این مسئله به خوبی دلالت بر چیرگی نرخ تغییر شکل حاصل از اندازه‌گیری‌های ژئودتیک نسبت به تغییر شکل لرزه‌ای همراه با رخداد زمین‌لرزه‌های بزرگ دارد. بررسی زمین‌لرزه دستگاهی با بزرگای بالای ۷ در راستای گسل شمال تبریز و

می‌شود. اعمال فیلتر برای کاهش نویزها امری ضروری است. فیلتر Goldstein یا گلدشتاین جزو فیلترهای حذف نویز است و هم برای نمایش و تفسیر بهتر تصویر و برای اجرای مراحل بعدی امری ضروری تلقی می‌شود. البته فیلترهای زیادی جهت حذف نویز وجود دارد ولی به دلایلی ترجیح داده شده است که در این پژوهش از این فیلتر استفاده شود. این فیلتر باعث کاهش نویزهای اختلاف فاز روی تصویر تداخل‌نما می‌شود؛ خروجی اعمال فیلتر گلدشتاین در شکل ۴ نشان داده شده است.



شکل ۴. تداخل‌نما پس از اجرای فیلتر گلدشتاین

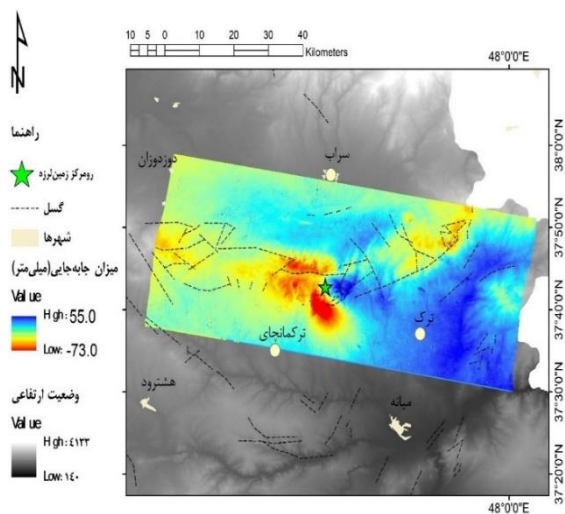
در بررسی جابه‌جایی‌های سطح زمین با استفاده از ابزارهای سنجش از دور، از اساسی‌ترین و مهم‌ترین مراحل، مرحله Unwrapping است؛ که در طی این فرایند ارزش پیکسل‌های تصویر Interferogram یا تداخل‌نما از حالت گسسته به حالت پیوسته تبدیل می‌شوند. برای دو نقطه در یک حلقه رنگی می‌توان اختلاف فاز و در نتیجه جابه‌جایی را به راحتی حساب کرد، اما برای دو نقطه از دو حلقه رنگی متفاوت باید تعداد حلقه‌های رنگی وسطی را شمرد و محاسبه کرد. به عملی که این محدودیت را با اضافه نمودن مقادیر صحیح اختلاف فاز به هر پیکسل رفع می‌کند، بازیابی یا Phase Unwrapping می‌گویند. نتیجه اعمال مرحله بازیابی در شکل ۵ آورده شده است.



شکل ۵. تداخل‌نما با اعمال مرحله فاز بازیابی شده با توجه به مراحل ذکر شده و با انجام محاسباتی نسبتاً ساده بر روی تصویر تداخل‌نما، تصویر جابه‌جایی به دست آمد که در شکل ۶ نشان داده شده است.

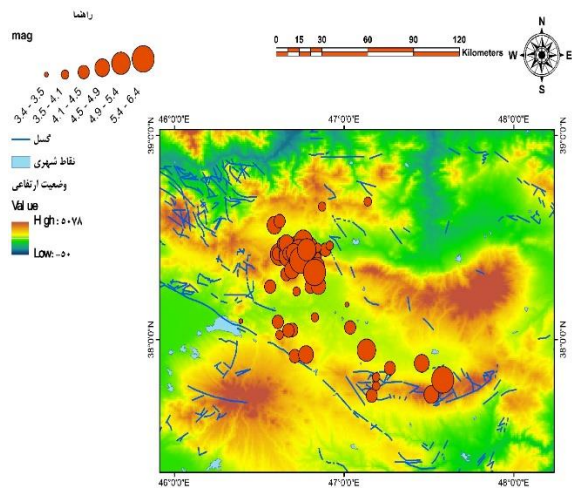
که منجر به پایین آمدن کیفیت تداخل نگاشت شود، لازم است تا با اجرای فیلترهای تطبیقی اثر این نویزها از روی تداخل نگاشت حذف شود. همچنین با استفاده از فیلتر تطبیقی گلداشتاین، نویزهای تداخل نگاشت کاهش یافت. پس از انجام پیش‌پردازش‌ها، نقشه اینترفوگرام منطقه تهیه شد؛ در شکل ۸ نقشه اینترفوگرام آورده شده است.

پس از تهیه نقشه اینترفوگرام، در مرحله بعدی از یک نرم افزار واسطه با نام snaphu جهت بازکردن فازها استفاده شده و فازهای باز شده وارد نرم‌افزار شده و با استفاده از رابطه ۱، اختلاف فاز به جابه‌جایی قائم تبدیل شده است و نقشه نهایی میزان جابه‌جایی قائم تهیه شد که در شکل ۹ نشان داده شده است.



شکل ۸. تصویر اینترفوگرام (تداخل سنجی) منطقه بر مبنای نقشه نهایی حاصل شده، محدوده مطالعه‌ی بین ۵۵ تا ۷۳ میلی‌متر جابه‌جایی داشته است. در واقع این محدوده، در اثر زمین‌لرزه، ۷۳-میلی‌متر فرونشست و ۵۵ میلی‌متر نیز بالا‌آمدگی داشته است. ارزیابی نقشه جابه‌جایی منطقه بیانگر این است که بیشترین میزان جابه‌جایی در حاشیه رو به مرکز زمین‌لرزه صورت گرفته است. و در یک روند کلی مناطق غربی محدوده با فرونشست موافق شده‌اند که روند میزان فرونشست به سمت مناطق شرقی کاهش می‌باید.

منطقه مهلزه‌ای زمین‌لرزه ۱۷ آبان ترکمنچای در طی ۲۱ سال اخیر روی نداده است. زمین‌لرزه دوگانه ۱۳۹۱ اهر-ورزقان با بزرگای  $6/3$  و  $6/4$  محدود می‌شود. به جز دو مورد فوق، هیچ زمین‌لرزه دیگری با بزرگای بالای ۶ در منطقه مشاهده نمی‌شود. در مقایسه با نرخ بالای جابه‌جایی راست‌گرد در راستای گسل شمال تبریز و ساقیه رخداد زمین‌لرزه‌های متعدد فراوان با بزرگای بالای ۷، رخداد کم زمین‌لرزه‌های متوسط تا بزرگ به خوبی بر کم بودن نرخ آزاد شدن انرژی منطقه به صورت لزم‌های دلالت دارد. (پژوهشگاه بین‌المللی زلزله شناسی و مهندسی زلزله، ۱۳۹۸).



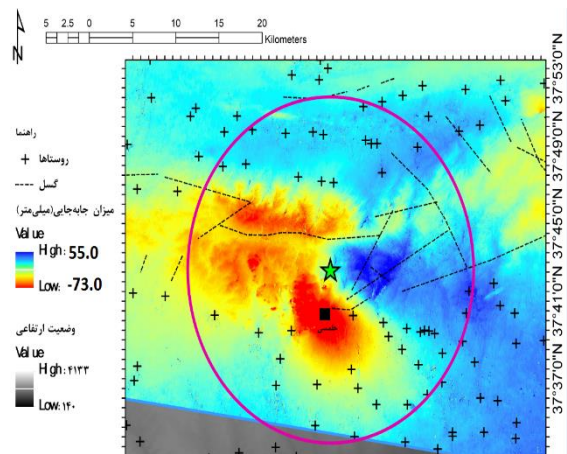
شکل ۷. نقشه لرزه‌خیزی منطقه از سال ۲۰۱۹ تا دسامبر ۲۰۲۰ (x: 3.4)

## ۲- اندازه‌گیری جابه‌جایی در اثر زمین‌لرزه:

در این مطالعه با توجه به نتیجه حاصله از بررسی خط مبني‌ی زمانی و مكانی برای تصاویر سنتیل ۱ تعداد دو تصویر مربوط به تاریخ ۲۰۱۹/۱۰/۲۸ و ۲۰۱۹/۱۱/۰۹ (نزدیک‌ترین تصاویر مربوط به قبل و بعد از زمین‌لرزه)، بعد از کنترل پارامترهای حاصل از همدوسی برای پردازش‌های بعدی مناسب تشخیص داده شده و مبني‌ی تهیه نقشه جابه‌جایی سطح زمین در محدوده مورد مطالعه قرار گرفتند. نهایتاً میزان جابه‌جایی برای بازه زمانی مذکور بدست آمد. در این پژوهش، با استفاده از فیلتر تطبیقی گلداشتاین، نویزهای تداخل نگاشت کاهش یافت. پس از حذف اثر توپوگرافی، تداخل نگاشت در بازه زمانی مذکور تهیه شد. از آنجایی که تداخل نگاشت حاصله ممکن است حاوی نویزهایی باشد

#### ۴- تاثیر زمین‌لرزه بر مناطق روستایی:

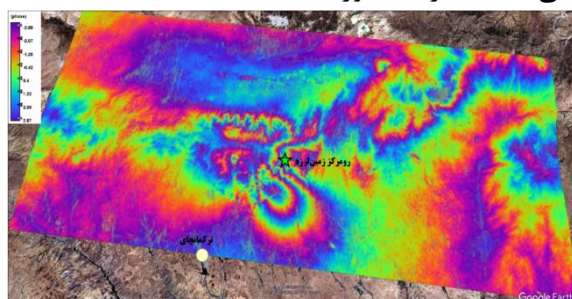
در شعاع ۳۰ کیلومتری اطراف رو، مرکز زمین‌لرزه ۵/۹ ترکمانچای، حدود ۲۱۵ آبادی قرار دارد که جمعیتی در حدود ۷۸ هزار نفر را طبق آمار سال ۱۳۹۵ در خود جای داده است. ۱۲۵۰۰ واحد فاقد اسکلت و بنائی و ۹۵۰۰ واحد دارای اسکلت واحدهای مسکونی این تعداد از آبادی را تشکیل می‌دهند. بر اساس آمار منتشر شده در حوزه شهرستان میانه حدود ۴۵ آبادی و در حوزه شهرستان سراب حدود ۳۰ آبادی دارای درصدهای متفاوتی از تخریب واحدهای مسکونی شده اند. در شهرستان میانه روستاهای صومعه علیا، بالسین، ورنکش، ورزقان، حلمسی، دستجرد به ترتیب بین ۱۱۳ تا ۴۱۴ واحد تخریبی (غیر قابل تعمیر) داشته‌اند که آسیب‌دیده ترین مراکز روستایی حوزه میانه را تشکیل می‌دهند. در شهرستان سراب آسیب وارده کمتر از میانه بوده و روستای شالقون، دونیق، چیچکلو، اردھا، گاؤدوش آباد و هروان به ترتیب بین ۵۰ تا ۸۶ واحد مسکونی تخریبی داشته‌اند. در شکل ۱۱ موقعیت روستاهای با فاصله ۱۳ کیلومتری (بیشترین درگیری با نوسانات زمین)، از رومرکز نشان داده شده است. موقعیت روستای حلمسی به گونه‌ای هست که با بیشترین میزان فرونشست مواجه شده است (۷۳ میلی‌متر فرونشست).



شکل ۱۱. موقعیت روستاهای در منطقه (دایره تا شعاع ۱۳ کیلومتری ترسیم شده است)

#### ۳- برآورد شدت در منطقه:

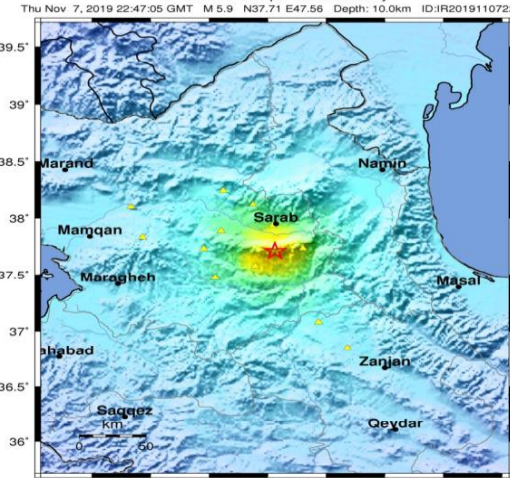
شدت زمین‌لرزه که معمولاً به صورت عدد یا به صورت کیفی بیان می‌شود، عبارت از قدرت و تاثیر زمین‌لرزه بر روی سطح زمین، انسان و سازه‌های ساخته شده بر روی آن می‌باشد و رابطه‌ای مستقیم با خرابی در همان محل دارد. با توجه به مکانی که زمین‌لرزه را احساس می‌نمایند، بر خلاف بزرگ‌گا که برای هر زمین‌لرزه یک عدد ثابت است، شدت‌های مختلفی برای یک زمین‌لرزه وجود دارد که با توجه به دوری یا نزدیکی از رو، مرکز زمین‌لرزه می‌تواند کم یا زیاد باشد. به عنوان مثال برای مناطق با شدت کم یا خیلی کم احتمال وقوع خسارت خیلی کم خواهد بود. با استفاده از داده‌های ثبت شده از این زمین‌لرزه توسط دستگاه‌های شبکه شتابنگاری، نقشه‌های پهن‌بندی شدت، هم تهیه گردید که در شکل ۱۰ ادامه آمده است. (شبکه ملی شتابنگاری کشور)



شکل ۹. نقشه میزان جایه‌جایی قائم در اثر زمین‌لرزه

PERIODICITY INSTRUMENTAL SHAKE MAP	Weak	Weak+	Light	Moderate	Strong	Very strong	Severe	Very Severe	Extreme
PERIOD (seconds)	<0.3	0.3-0.4	0.4-0.5	0.5-0.7	0.7-0.9	0.9-1.1	1.1-1.4	1.4-1.8	>1.8
PEAK VEL (cm/s)	<0.1	0.1-1.1	1.1-3.4	3.4-8.1	8.1-16	16-31	31-60	60-116	>116
INSTRUMENTAL INTENSITY	I	II-III	IV	V	VI	VII	VIII	IX	X+

BHRC ShakeMap : Torkamanchay Thu Nov 7, 2019 22:47:05 GMT M 5.9 N37.71 E47.56 Depth: 10.0km ID:R201911072247



شکل ۱۰. نقشه لرزش زمین بر اساس پارامتر شدت

### نتیجه گیری

زمین لرزه‌ها از علت اصلی جابجایی‌ها عدمه در سطح زمین محسوب می‌شوند. بررسی تغییرات در سطح زمین که می‌تواند تغییرات عدمه دیگری در عملکرد فرایندهای مختلف زمین پدید آورد، از اهمیت زیادی برخوردار است. کشور ایران که از نظر فعالیت‌های تکتونیکی از محدوده‌های بسیار فعال دنیا محسوب می‌شود که با هر فعالیتی که صورت می‌گیرد با توجه به ویژگی‌های تشکیلات سطحی زمین می‌تواند عملکردهای بسیار متفاوتی داشته باشد. در این تحقیق با توجه به موضوع و اهداف موردنظر، به برآورده جابه‌جایی سطح زمین ناشی از زمین‌لرزه ۱۷ آبان ۱۳۹۸ پرداخته شد. ابتدا با استفاده از دو تصویر سنجنده سنتینل ۱ (Descending) پردازش‌های موردنظر انجام شد و سپس با استفاده از تکنیک تداخل‌سنگی راداری (InSAR)، میزان جابه‌جایی (فرونشست و بالآمدگی) صورت گرفته در منطقه با استفاده از نرم‌افزار SNAP محاسبه گردید. نتایج ارزیابی‌های صورت گرفته از میزان جابه‌جایی (فرونشست و بالآمدگی) بیانگر این هست که محدوده مطالعاتی بعد از رخداد زمین‌لرزه ۵/۹ ترکمانچای (بازه زمانی ۲۰۱۹/۱۰/۲۸ تا ۲۰۱۹/۱۱/۰۹) بین ۵۵ تا ۷۳ میلی‌متر جابه‌جایی داشته است. این جابه‌جایی در جهات مختلف بوده که ۷۳ میلی‌متر پایین آمدگی و ۵۵ میلی‌متر بالآمدگی بوده است. در واقع تحلیل‌ها حاکی از این است که قسمت‌های غربی با فرونشست و قسمت شرقی منطقه نیز با بالآمدگی مواجه شده‌اند. بررسی موقعیت زمین‌لرزه‌های رخ داده در منطقه شمال‌غرب بیانگر این است که این منطقه در طول تاریخ بارها زمین‌لرزه‌های تاریخی بزرگ و مخربی را تجربه کرده است. تمرکز زمین‌لرزه‌های تاریخی در امتداد گسلی که از شمال کلان شهر تبریز عبور می‌کند، گویای جنبایی چشمگیر و قابل توجه این گسل در طول تاریخ می‌باشد. زمین‌لرزه‌اخیر ترکمانچای در منتهی شرقی این گسل واقع می‌شود. علاوه بر نواحی سکونتگاهی، واحدهای ژئوموروفولوژی نیز با جابه‌جایی همراه بوده‌اند که



الف



ب

شکل ۱۲. (الف و ب) ریزش دیوارها و مصالح دارای اسکلت بتی در روستای بالسین



الف



ب

شکل ۱۳. (الف و ب) تخریب دیوار به دلیل ضعف مصالح و عدم اتصال مناسب در روستای ورنکش

## منابع

- 1- Ambraseys, N.N., Melville, C.P., 1982. A history of Persian earthquakes. Cambridge Earth Science Series. Cambridge University Press, London. 212 pp.
- 2- Albano, M.; Chiaradonna, A.; Saroli, M.; Moro, M.; Pepe, A.; Solaro, G. InSAR Analysis of Post-Liquefaction Consolidation Subsidence after 2012 Emilia Earthquake Sequence (Italy). *Remote Sens.* **2024**, *16*, 2364. <https://doi.org/10.3390/rs16132364>
- 3- H.Guo, (2015), Groundwater-abstraction induced land subsidence and groundwater regulation in the North China Plain, piahs-372
- 4- Haddad, Abdul Hossein and Khorasani, Elham. (2018). The effect of underground water level changes on the subsidence of Semnan Plain. *Journal of Earth Sciences*, summer 2018, year 28, number 112, pp. 181-190. [In Persian]
- 5- Janbaz Futmi, Mahdia; Khalkhi, Majid; Abdo Kalachi, Abdul Nabi; Rural, foggy. (2019). Investigating land subsidence caused by changes in groundwater level using differential radar interferometry: a case study of Qazvin province. *Iran's water resources research*. Year 16, No. 3, pp. 147-133. [In Persian]
- 6- Kapil, M., Dheeraj, K., Daniele, P., Biswajeet, P. (2022). Estimation of ground subsidence of New Delhi, India using PSInSAR technique and Multi-sensor Radar data, *Advances in Space Research*, Volume 69, Issue 4, Pages 1863-1882, <https://doi.org/10.1016/j.asr.2021.08.032>.
- 7- Khorrami, Mohammad. (2016). Estimation of Mashhad subsidence using radar interferometric technique and its evaluation according to geotechnical characteristics. Master's thesis in Civil Engineering, Ferdowsi University of Mashhad, page 2. [In Persian]
- 8- Kalmishi, Zahra; Rusta, Iman and Zandi, Rahman. (1401). Extraction of ground surface displacement caused by earthquake using InSAR radar interferometric technique: case study: Dehleran city. The 3rd National

می‌تواند بسیار حائز اهمیت باشد. یکی از واحدهایی که میزان جابه‌جایی در آن دارای اهمیت بالایی است، واحد دشت‌های منطقه است. جابه‌جایی قائم رخ داده در دشت‌های منطقه می‌تواند در نوسان آب‌های زیرزمینی از جمله افت سطح آب‌های زیرزمینی منطقه مؤثر باشد. یکی دیگر از اثرات جابه‌جایی قائم، تاثیر بر دامنه‌ها است. با توجه به اینکه بخش عمده‌ای از منطقه را واحد کوهستان در برگرفته است، این جابه‌جایی می‌تواند سبب تشديد حرکات دامنه‌ای در سال‌های آينده شود. در واقع، زمين‌لرزه ترکمانچای از طریق جابه‌جایی قائم در نواحی کوهستانی و تاثیراتی که در استحکام دامنه‌ها و ایجاد گسیختگی در آنها داشته است، می‌تواند زمینه را برای وقوع حرکات دامنه‌ای در سال آينده را فراهم کند. از اثرات دیگر زمين‌لرزه ترکمانچای، تاثیر بر سازه‌ها و نواحی روستایی است؛ در شعاع ۳۰ کیلومتری اطراف رومکز زمین‌لرزه ۵/۹ ۵/۹ ترکمانچای، حدود ۲۱۵ آبادی قرار دارد که جمعیتی در حدود ۷۸ هزار نفر را طبق آمار سال ۱۳۹۵ در خود جای داده است. بر اساس آمار منتشر شده در حوزه شهرستان میانه حدود ۴۵ آبادی و در حوزه شهرستان سراب حدود ۳۰ آبادی دارای درصدهای متفاوتی از تخرب واحدهای مسکونی شده اند. در شهرستان میانه روستاهای صومعه علیا، بالسین، ورنکش، ورزقان، حلمسی، دستجرد به ترتیب بین ۱۱۳ تا ۴۱۴ واحد تخریبی(غیر قابل تعمیر) داشته‌اند که آسیب‌دیده‌ترین مراکز روستایی حوزه میانه را تشکیل می‌دهند. موقعیت روستای حلمسی به گونه‌ای هست که با بیشترین میزان پایین آمدگی مواجه شده است(۷۳ میلی‌متر فرونژست).سازه‌ای انسانی از جمله استقرار تیرهای چراغ برق متاثر از جابه‌جایی‌های سطح زمین است که در صورت انجام چنین جابه‌جایی‌هایی خسارات سنگینی بر جای بگذارد.از نگاه آمايش سرزمین توجه مستمر به تغييرات در پهنه‌های زمینی به منظور مدیریت درست از اهمیت ویژه‌ای برخوردار است.

- 15- Rostaei, Shahram; Rezaei Moghadam, Mohammad Hossein, Yarahamdi, Jamshid and Najaf Vand, Samira. (1401). Detection of subsidence for earth stability using radar interferometric method with permanent scattering (case study: Shabster-Sofian Plain). *Geography and Environmental Sustainability*, 12(3), 57-74. DOI: 10.22126/GES.2022.7538.2508. [In Persian]
- 16- Rozban, Ali, Esmaili, Ali and Motaghi, Mehdi. (2015). Investigating land subsidence using differential radar interferometry (DInSAR) and using SENTINEL sensor images. 2nd National Geospatial Information Technology Engineering Conference. Khwaja Nasiruddin Tusi University of Technology, Faculty of Mapping Engineering, January 29, 2015.[In Persian]
- 17- Raspinia, F., Loupasakis, C., Rozos., D., Adam, N., Moretti, S. (2014). Ground subsidence phenomena in the Delta municipality region (NortherntGreece): geotechnical modeling and validationwithPersistentsScatterer Interferometry, ELSEVIER Internationa Journal, vol28, pp78-89, doi:10.1016/j.jag.2013.11.010
- 18- Sharifi Kia, Mohammad and Nikta, Maitham. (1390). Assessment and extraction of risks resulting from subsidence phenomenon in the residential areas of Greater Tehran, the first seminar on spatial analysis of environmental risks in the metropolis of Tehran, Tarbiat Moalem University. [In Persian]
- 19- Sheng, H.; Zhou, L.; Huang, C.; Ma, S.; Xian, L.; Chen, Y.; Yang, F. Surface Subsidence Characteristics and Causes in Beijing (China) before and after COVID-19 by Sentinel-1A TS-InSAR. *Remote Sens.* 2023, 15, 1199. <https://doi.org/10.3390/rs15051199>
- 20-Teixeira, A.C.; Bakon, M.; Perissin, D.; Sousa, J.J. InSAR Analysis of Partially Coherent Targets in a Subsidence Deformation: A Case Study of Maceió. *Remote Sens.* 2024, 16, 3806. <https://doi.org/10.3390/rs16203806>
- 21- Yamani, Mojtaba; Najafi, Ismail and Abedini, Mohammad Hossein. (1388). The Conference on Data Mining in Geosciences, Faculty of Geosciences Engineering. February 12, 1401. [In Persian]
- 9- Maleki, Rahman; Khavarian, Hassan and Asghari, Sayad. (1402). Measurement of ground subsidence using radar interferometric technique: case study: earthquake-affected areas of West Kermanshah. *Scientific Research Journal of Natural Environment Hazards*, Volume 12, Number 38, December 1402. [In Persian]
- 10- Madirzadeh, Reyhane; Asghari Saraskanroud, fisherman; Emami, Rashid and Rostami, Aref. (1401). Estimating the amount of ground displacement during the July 2019 earthquake in northwest Iran: Study area: Qatour city. *Geographical Information Scientific-Research Quarterly*, Volume 31, Number 122, Summer 1401. [In Persian]
- 11- Masson, F., Djamour, Y.,Van Gorp, S., Chéry, J., Tatar,M., Tavakoli, F., Nankali, H.,Vernant, P.,2007. Extension in NW Iran driven by Motion of the South Caspian Basin, *Earth Planet. Sc. Lett.* 252, 180–188.
- 12- Nasiri, Abuzar; Shafiei, Najmeh and Moradi, Shiva. (1401). Determining the displacement of the earth's surface using radar interferometry of satellite images of Sunitnel-1: Study area: 3-shard Dana earthquake. The third national conference of Geological Remote Sensing Association. Chamran martyr of Ahwaz University.[In Persian]
- 13- Nazm Far, Hossein and Shirzad Gurjan, Munir. (1401). Land surface subsidence monitoring with radar interferometric fan: Study area: Mashgin plain. *Scientific Research Journal of Natural Environment Hazards*, 11th Volume, Number 31, Spring 1401. [In Persian]
- 14- Rahnama, Hossein and Erseghi, Sohrab; (2015). Analysis and evaluation of parameters affecting land subsidence. *Scientific-research journal of Imran Modares*, 16th volume, number 1, April 2015. . [In Persian]

Australia Using both L-Band and C-Band SAR TimeSeries Analysis, Remote sinsing magazine

23- Zinali, Ali and Mirheidari, Firouze. Investigating land subsidence in the Marand plain and ways to prevent it. [In Persian]

relationship between ground subsidence and groundwater level drop in the Qara-Balagh plain of Fars province, Scientific Research Quarterly of Geography, Volume 1, pp. 9-27. [In Persian]

22- Zheyuan Du, Linlin Ge, Xiaojing Li and Alex Hay-Man Ng,(2016), Subsidence Monitoring over the Southern Coalfield,

## Calculation of ground displacement caused by earthquake using radar interferometry of Sentinel 1 satellite. (Case study: Turkmanchay city)

### Abstract

Earthquakes represent a critical natural hazard, particularly in seismically active zones like Iran, which ranks as the world's sixth most earthquake-prone country. The active tectonic nature of Northwest Iran necessitates continuous monitoring of surface deformation. This research focuses on quantifying the ground displacement associated with the Magnitude 5.9 Turkmanchay earthquake that occurred on November 8, 2019 (Aban 17, 1398). The primary objective was to estimate the resulting co-seismic uplift and subsidence (vertical displacement) across the affected area. The study employed the advanced remote sensing technique of Interferometric Synthetic Aperture Radar (InSAR), which is highly effective for detecting subtle surface changes down to the millimeter level. We utilized two Sentinel-1 descending pass, Single Look Complex (SLC) images acquired close to the event date (October 28, 2019, and November 9, 2019). Data processing was performed using the SNAP software environment. Key methodological steps included co-registering the images, removing the topographic phase, and applying the Goldstein Adaptive Filter to enhance interferogram quality by reducing noise. Crucially, the phase discontinuities were resolved through the Phase Unwrapping process using the Snaphu tool. The unwrapped phase difference was then converted into vertical displacement measurements. The results revealed a significant range of vertical displacement in the Line-Of-Sight (LOS) direction. The affected region experienced maximum deformation ranging from 55 mm of uplift to -73 mm of subsidence. The analysis showed that the highest magnitude of displacement was concentrated around the earthquake's epicenter. Spatially, a distinct pattern emerged, indicating widespread subsidence in the western sectors and uplift in the eastern sectors of the study area. The maximum recorded subsidence of 73 mm was specifically observed near Halmasi village. In conclusion, the documented surface displacement is a considerable figure in terms of environmental dimensions and regional equilibrium. This study reaffirms the indispensable role of the InSAR technique and Sentinel-1 data for rapid, precise monitoring and assessment of crustal deformation following seismic events in high-risk tectonic regions.

**Keywords:** Displacement, InSAR, Sentinel 1A, Interferometry, Earthquake, Turkmanchay.

